

300.- Aspecto de la intersección de dos esquistosidades, una N-100°E/vertical y otra N-140°E/subvertical al NE en el Precámbrico ($PC_2$) al N de Villar del Rey.



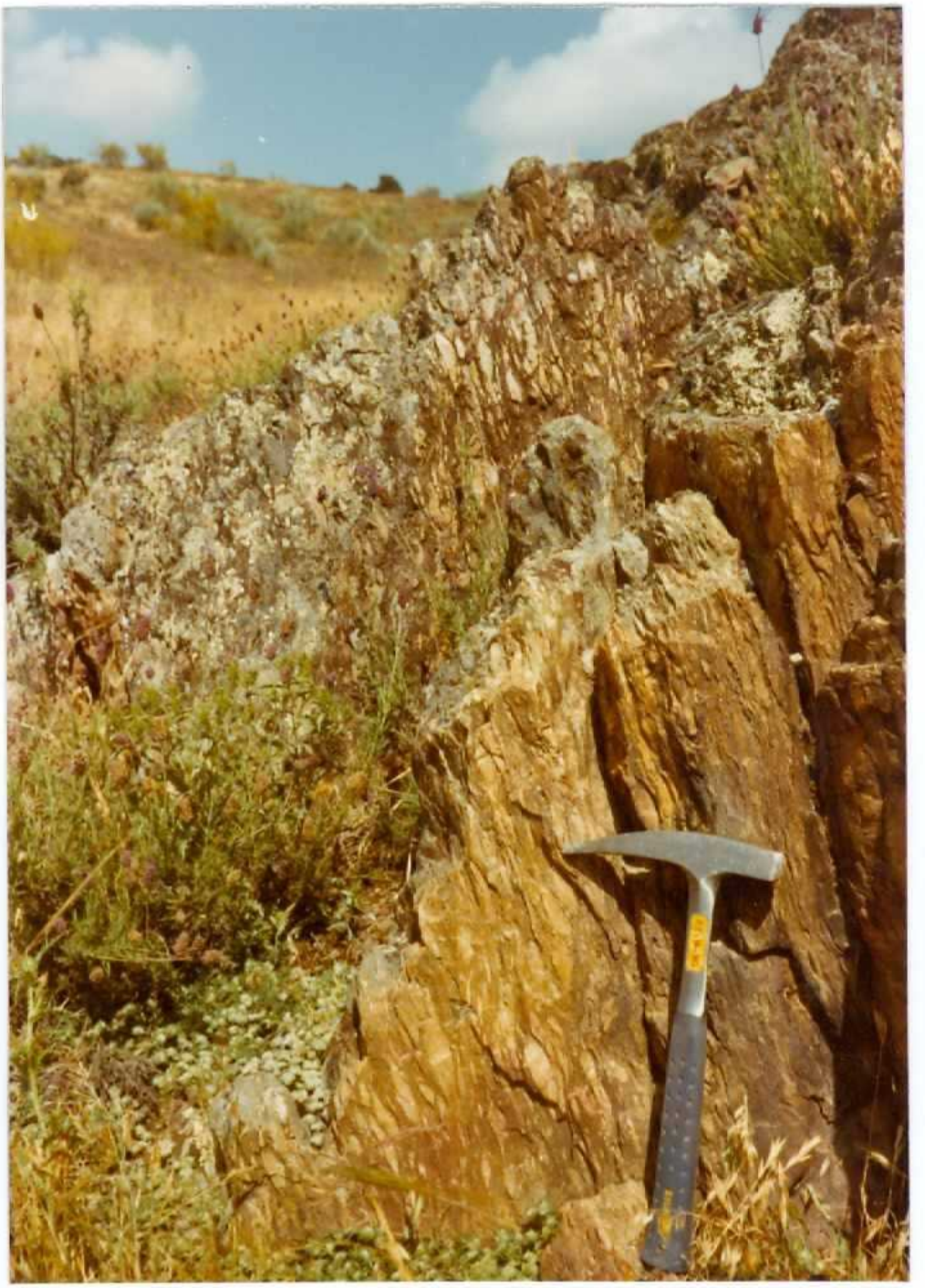
301.- Calizas precámbricas ($PC_{c2}$) al O de Villar del Rey.



302.- Otro aspecto de la foto anterior.



303.- Alternancia de esquistos, pizarras y algún nivel cuarcítico ($PC_{e2}$). Se observan dos - esquistosidades de fractura (N-115°-E/subvertical y N-140°E/subvertical). Foto tomada en el Km. 9 de la C$^{a}$ de Aliseda-Badajoz



304.- Aspecto de un nivel conglomerático intraprecámbrico ($PC_{cg2}$) al N de Villar del Rey. Se observan los cantos alargados según la dirección de la esquistosidad principal.



305.- Dique de rocas básicas en el Km. 6'8 de la Cª Villar-Puebla de Obando.



306.- Rocas básicas muy próximas al río Guerrero, al S.E. de Los Albarderos.



307.- Filitas Ordovícico-Devónico ($O_2$-$D_2$)



308.- Cantera "BODONAL" de Pizarras de Badajoz S.A. en el paraje Los Albarderos.



309.- Esquistosidad $S_1$ N-120°E/subvertical afectada por micropliegues de plano axial N-40°E/70°SE ($S_3$).



310.- "Kink-bands" con plano axial N-40°E/60°NO ($S_3$) afectando a $S_1$. Filitas Ordovícico-devónicas - ($O_2$-$D_2$).



311.- Skidawiense ($O_{12}$) en la sierra del Nachal.



312.- Vista de conjunto del Terciario desde la Sierra del Machal



313.- Afloramiento de calizas precámbricas ($PC_{c2}$) en Las Muelas.



314.- Detalle de la foto anterior.



315.- Serrata de calizas precámbricas ($PC_{c2}$) en el Horno del Chato.



316.- Detalle de la foto anterior.



317.- Afloramiento de calizas precámbricas ($PC_{\epsilon 2}$) al NE de Villar del Rey.



318.- Nivel de cuarcitas skidawienses ($O_{12}$) al NO de La Roca de la Sierra.



319.- Detalle de las calizas precámbricas ($PC_{c2}$) junto a La Roca de la Sierra.



320.- Vista de conjunto del afloramiento granítico al SE de Villar del Rey



321.- Forma normal de aflorar el granito, practicamente cubierto.



322.- Micropliegues policlinales en las calizas pre cámbricas ($PC_{c2}$)



323.- Rocas básicas al S del paraje La Cendra.



324.- Cuarcitas skidawienses ($O_{12}$) al oeste del Puerto del Zángano.



325.- Serie en contacto con el skidawiense, en una zona de fractura, al N. del Puerto del Zángano.



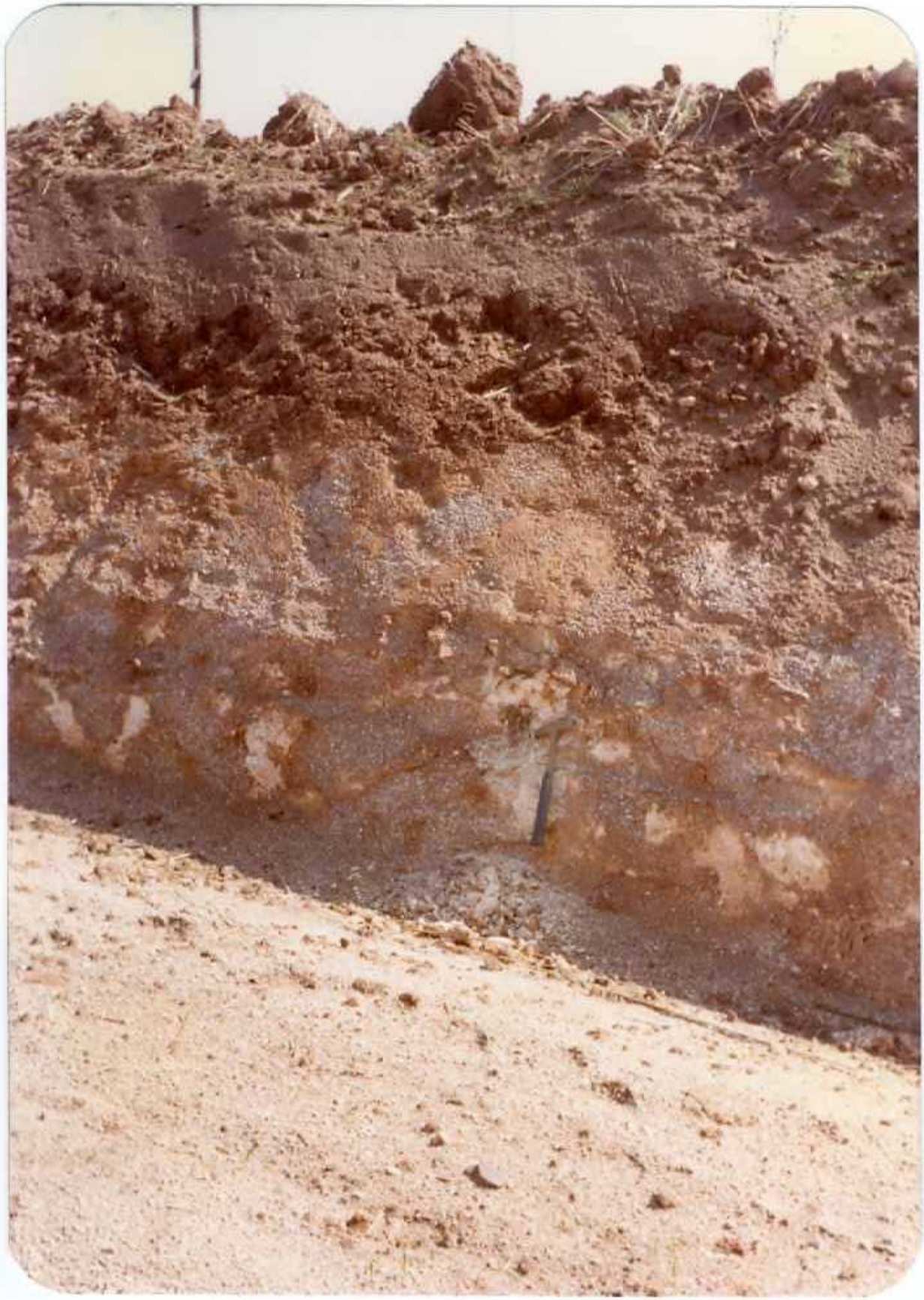
326.- Filitas Ordovícico-devónicas ($O_2$-$D_1$)



327.- Contacto ligeramente discordante de las arcillas basales ($T^{B}_{ac1}$) con las arenas arcillosas ($T^{B}_{S_{c1}}$).



328.- Granito alterado recubierto por depósitos terciarios en el Km. 63'5 Cª Cáceres-Badajoz.



329.- Detalle de la foto anterior.



330.- Nivel margoso ($T^{B}_{mc1}$) con cantos sueltos de caliza



331.- Calizas Terciarias ($T^{B}_{Cc1}$)



332.- Aspecto de conjunto de la Raña ($T_2^B$-$Q_{11}$)



333.- Tramo inferior de la Raña ($T_2^B$-$Q_{11}$) y superficie de alteración preRaña



334.- Calizas Terciarias ($T^{B}_{Cc1}$) en el límite SE de la Hoja.



335.- Vista de conjunto de la Raña ($T_2^B$-$Q_{11}$) en Valdeherreros.



336.- Detalle de la foto anterior.